

ORIGINAL ARTICLE

The Effect of Hyoscine-N-Butylbromide on Respiratory Sinus Arrhythmia in Healthy Young Subjects

Ali Kahani¹,
Abbas Forotan²,
Esmaeil Akbari¹

¹ Assistant Professor, Department of Physiology and Pharmacology, Faculty of Medicine, Mazandaran University of Medical Sciences, Sari, Iran

² Assistant Professor, Department of Physiology, Faculty of Medicine, Shaheed Beheshti University of Medical Sciences, Tehran, Iran

(Received June 2, 2013 ; Accepted October 29, 2013)

Abstract

Background and purpose: Fluctuations in the heart rate can be affected by many factors such as breathing. The amplitude of heart rate variability during inhalation and exhalation provides a quantitative measure that puts the estimate of cardiac vagal function which is considered. The aim of this study was to investigate the effect of a single dose of hyoscine-N-butylbromide (hyoscine) on the amplitude of heart rate variability, namely cardiac vagal activity.

Material and methods: 15 healthy young male subjects participated in the study. Each subject came to the laboratory twice with one week interval. Before and one hour after intramuscular injection of hyoscine or placebo, normal and deep breathing tests were performed every 10 minutes. The amplitude of respiratory sinus arrhythmia (RSA) associated with cardiac vagal activity between periods before and after administration of the drug/ or placebo were analyzed by RM_ANOVA.

Results: Comparing with normal breathing, deep breathing increases the amplitude of the RSA. The One way ANOVA of RSA showed that hyoscine reduced the RSA amplitude that at 50 min after injection returned to basal level. Similar results were also observed during normal breathing test except that RSA amplitude at 40 min after injection of hyoscine returned to baseline.

Conclusion: Overall, the findings of this study showed that intramuscular injection of 20 mg hyoscine reduces cardiac vagal activity that returned to base line 40-50 minutes after the injection.

Keywords: Hyoscine- N-butyl bromide, respiratory sinus arrhythmia

J Mazand Univ Med Sci 2014; 24(109): 134-141 (Persian).

تأثیر هیوین- ان- بوتیل بروماید بر آریتمی سینوسی- تنفسی در افراد جوان سالم

سید علی کاهانی^۱

سید عباس فروتن^۲

اسماعیل اکبری^۱

چکیده

سابقه و هدف: نوسان در ضربان قلب تحت تأثیر عوامل مختلفی ایجاد می‌شود که یکی از این عوامل تنفس است. دامنه نوسان ضربان قلب طی دم و بازدم معیاری کمی در اختیار ما قرار می‌دهد که برآورده از عملکرد واگک قلبی محاسبه می‌شود. هدف ما از انجام این مطالعه بررسی اثر تک دوز هیوین بر دامنه نوسان ضربان قلب و میزان عملکرد واگک قلبی می‌باشد.

مواد و روش‌ها: مطالعه حاضر مداخله‌ای یک سوکور از نوع متقطع می‌باشد که در آن ۱۵ آزمودنی مذکور جوان سالم شرکت کردند. هر آزمودنی دو بار با فاصله یک هفته مراجعه می‌کرد. قبل و به مدت یک ساعت بعد از تزریق عضلانی هیوین یا پلاسبو، آزمون تنفس عادی و عمیق کنترل شده هر ۱۰ دقیقه انجام شد. معیار مربوط به عملکرد واگک یعنی دامنه آریتمی سینوسی تنفسی (RSA) بین قبل و زمان‌های بعد از تزریق دارو یا پلاسبو توسط RM_ANOVA آنالیز شد.

یافته‌ها: تنفس عمیق به طور واضحی سبب افزایش دامنه RSA شد. آنالیز واریانس یک طرفه معیار RSA در آزمون تنفس عمیق نشان داد که هیوین- ان- بوتیل بروماید باعث کاهش دامنه RSA شد که در دقیقه ۵۰ بعد از تزریق، به حد پایه برگشت. نتایج مشابهی طی آزمون تنفس عادی کنترل شده نیز مشاهده شد، با این تفاوت که دامنه RSA در دقیقه ۴۰ پس از تزریق هیوین به میزان پایه برگشت.

استنتاج: یافته‌های این مطالعه نشان داد که تزریق عضلانی ۲۰ میلی گرم آمپول هیوین سبب کاهش فعالیت واگک قلبی می‌شود که در دقیقه ۴۰ و ۵۰ بعد از تزریق به سطح پایه می‌گردد.

واژه‌های کلیدی: هیوین- ان- بوتیل- بروماید، آریتمی سینوسی تنفسی، آزمون تنفس عمیق

مقدمه

به مهار آن‌ها است^(۱). هیوین- ان- بوتیل بروماید در شرایط بالینی از داروهای پرصرف در درمان اسپاسم احشاء شکمی^(۲)، سندرم روده تحریک پذیر^(۳) و بیماری حرکت^(۴) می‌باشد.

هیوین- ان- بوتیل بروماید یک ترکیب آنتی موسکارینی با آمونیوم چهارتایی است و لذا قادر به عبور از سد خونی مغزی نیست. این دارو تمایل اتصالی به همه ۵ گیرنده موسکارینی دارد و به طور رقباتی قادر

E-mail: akbari_esmaeil@yahoo.com

مولف مسئول: اسماعیل اکبری- ساری: کیلومتر ۱۸ جاده خزرآباد، مجتمع دانشگاهی پامبر اعظم (ص)، دانشکده پزشکی

۱. استادیار، گروه فیزیولوژی و فارماکولوژی، دانشکده پزشکی، دانشگاه علوم پزشکی مازندران، ساری، ایران

۲. استادیار، گروه فیزیولوژی، دانشکده پزشکی، دانشگاه علوم پزشکی شهید بهشتی، تهران، ایران

تاریخ دریافت: ۱۳۹۲/۲/۱۲ تاریخ ارجاع جهت اصلاحات: ۱۳۹۲/۷/۸ تاریخ تصویب: ۱۳۹۲/۸/۷

نیز دارای اثر پارادکس بر عملکرد واگ کلی می باشد که البته مکانیسم این اثر دو گانه تاکنون شناخته نشده است (۱۷). ترکیب اسکوپولامین (هیوسین) با آمونیوم سه تایی که ویژگی لیپوفیلی بالایی دارد، بر عملکرد واگ کلی به طور وابسته به غلظت اثر پارادکس دارد (۱۸، ۱۹). از طرفی اسکوپولامین (هیوسین)- ان- بوتیل بروماید یک ترکیب آنتی موسکارینی با آمونیوم چهار تایی است که اگر چه از سد خونی مغزی به میزان ناچیزی عبور می کند، اما هنوز در مورد اثر پارادکس این ترکیب بر عملکرد سیستم اعصاب خودمختار قلبی با توجه به آزمون های خودمختار، اطلاعاتی در دسترس نیست. اگر چه گزارشاتی مبنی بر اثر متضاد کولینزیکی در مورد اسکوپولامین با آمین سه تایی که قادر به عبور از سد خونی مغزی است، گزارش شده است (۲۰، ۲۱). بنابراین هدف از انجام این مطالعه، بررسی اثر داروی تزیریکی هیوسین- ان- بوتیل بروماید بر عملکرد سیستم اعصاب خودمختار قلبی با استفاده از آزمون های تنفس عادی و عمیق کنترل شده می باشد.

مواد و روش ها

پانزده داوطلب مرد دانشجوی پزشکی دانشگاه علوم پزشکی شهید بهشتی در محدوده سنی ۲۰ تا ۳۰ سال که شرایط ورود به مطالعه را داشتند، بعد از شنیدن توضیحات محقق و تکمیل رضایت نامه کتبی در این پژوهش شرکت کردند. انتخاب آزمودنی ها در محدوده باریک از نظر سن و نمایه توده بدنی، پاسخ یکنواخت ضربان قلب به تنفس را به همراه دارد، چرا که سن و نمایه توده بدنی تأثیر قابل توجهی بر پاسخ ضربان قلب به تنفس دارند (۲۲). شرکت کنندگان از هیچ بیماری مزمنی رنج نمی برند و سابقه مصرف طولانی مدت سیگار و درمان های دارویی را نداشتند. برای جلوگیری از دخالت عوامل مختلف شبانه روزی بر عملکرد سیستم عصبی خودمختار، آزمایشات از ساعت ۸ تا ۱۰ صبح (۲ ساعت بعد از صرف یک صحابه سبک) انجام شد.

تنفس از عواملی است که بر روی عملکرد سیستم اعصاب خودمختار اندام های مختلف، مانند قلب تأثیر می گذارد (۵). تأثیر تنفس بر ضربان قلب به صورت افزایش ضربان قلب هنگام دم و کاهش ضربان قلب هنگام بازدم بروز می کند که ناشی از نوسان در فعالیت سیستم اعصاب سمتاً تیک و به ویژه عصب واگ کلی است (۶). این نوسان در ضربان قلب با منشأ تنفس به آریتمی سینوسی- تنفسی (Respiratory sinus Arrhythmia) RSA است و لذا کمی سازی نوسان ضربان قلب طی مراحل دم و بازدم در قالب آزمون های تنفس عادی و عمیق کنترل شده، شاخص هایی از عملکرد سیستم عصبی خودمختار قلبی به دست می دهد.

سنجهش شاخص های عملکرد شاخه واگ در آزمون های خودمختار قلبی از جمله تنفس عادی و عمیق کنترل شده در شرایط مختلف بالینی اطلاعات ارزشمندی برای برآورد میزان سلامت یا آسیب سیستم عصبی خود مختار قلبی- عروقی فراهم می کند (۸، ۷). گزارش های متعدد تغییر معیارهای عملکرد RSA در بیماران دیابتی (۱۰، ۹)، بیماری عروق کرونر (۱۱) و پس از سکته قلبی (۱۲) نشان داده اند. از موارد استفاده از آزمون های خودمختار قلبی، ارزیابی پاسخ سیستم عصبی خودمختار به مداخلات فارماکولوژیک است (۱۳-۱۵). آتروپین که به علت ویژگی لیپوفیلی بالا به راحتی از سد خونی مغزی عبور می کند، به عنوان سر دسته داروهای آنتی موسکارینی دارای اثر پارادکس وابسته به غلظت بر روی رشته های واگ کلی است، به طوری که در دوزهای بالا به واسطه مهار عمل استیل کولین بر گره سینوسی سبب تاکیکاردي و در دوزهای کم سبب برادیکاردي می شود. در واقع دوز کم آتروپین با تحریک نورون های حرکتی واگ در ناحیه شکمی- جانبی بصل النخاع، به اثر مهاری آتروپین بر سیستم کولینزیک غلبه می کند (۱۶). به علاوه مطالعات گزارش کرده اند که آتروپین با آمونیوم چهار تایی مانند آتروپین متیل بروماید که عبور ناچیزی از سد خونی مغزی دارد

- مدت فشار خون سیستولی، فشار خون دیاستولی و ضربان قلب به صورت دستی اندازه گیری شد.
- (۲) سه الکترود اندامی جهت ثبت اشتقاق II نوار قلب به دستهای راست و چپ و پای چپ متصل شد.
- (۳) آزمون تنفس عادی و عمیق کنترل شده با فاصله ۱ دقیقه انجام شد.
- (۴) هیوسمین- ان- بوتیل بروماید (۲۰ میلی گرم در ۱ میلی لیتر) یا پلاسبو (۱ میلی لیتر آب مقطر) به صورت عضلانی تزریق شد.
- (۵) آزمون‌های تنفس عادی و عمیق کنترل شده در دقیقه‌های ۱۰، ۲۰، ۳۰، ۴۰، ۵۰ و ۶۰ بعد از تزریق انجام شد.
- امواج مربوط به اشتقاق II نوار قلب میزان نمونه‌برداری ۳۰۰ هرتز توسط کارت A/D ثبت و در کامپیوتر ذخیره شدند. یک فایل متنی نیز به عنوان خروجی ثبت هر نوار قلب آماده شد که شامل RRI هنگام انجام آزمون‌های تنفس بود و برای محاسبه معیارهای RSA مورد استفاده قرار گرفت.

تجزیه و تحلیل آماری

مقایسه بین دو گروه دارو و پلاسبو توسط Paired- t-test و مقایسه بین زمان‌های قبل و بعد از تزریق دارو یا Repeated-Measurement ANOVA پلاسبو توسط p آزمون توکی انجام شد. نتایج به صورت میانگین ± انحراف معیار گزارش شد و $p < 0.05$ به عنوان سطح معنی‌داری آماری در نظر گرفته شد.

یافته‌ها

آزمودنی‌ها در محدوده باریک از نظر سن و نمایه توده بدنی انتخاب شدند که پاسخ یکنواخت ضربان قلب به تنفس را به همراه دارد. به علاوه در همه افراد فشارخون سیستولی و دیاستولی در محدوده طبیعی بود. بروز عوارض ناشی از مداخلات بسیار ناچیز بود و مانع برای ادامه آزمایش برای هیچ یک از آزمودنی‌ها ایجاد نکرده بود.

طرح پیشنهادی توسط کمیته اخلاق دانشگاه علوم پزشکی شهید بهشتی تأیید شد که با کدهای اخلاقی هلسینکی مطابقت داشت.

آزمون تنفس عمیق و عادی کنترل شده ابتدا به آزمودنی آموزش داده شد تا با توجه به ساعت عقرهای بزرگی که رو به رویش قرار داشت، طی ۵ ثانیه دم و سپس ۵ ثانیه بازدم انجام دهد. سیکل ۱۰ ثانیه‌ای تنفس عمیق ۶ بار (۱ دقیقه) انجام شد. به علاوه به آزمودنی آموزش داده شد تا از دم یا بازدم ناگهانی و نیز حبس تنفس در مراحل آزمایش اجتناب کند. چون پاسخ قلب به تنفس عمیق به واسطه عصب واگ انجام می‌شود، آزمون تنفس عمیق به عنوان ارزیابی کننده واگ قلبی به کار می‌رود. آزمون فوق تغییر در ضربان قلب لحظه‌ای که توسط تنفس عمیق (۶ تنفس در دقیقه) برانگیخته می‌شود را ارزیابی می‌کند. دامنه نوسان فواصل امواج متوالی (RR Interval) (RRI) مربوط به اشتقاق II نوار قلب یا به عبارتی دامنه RSA برای هر RRmin تنفس به صورت تفاضل RRmax طی بازدم و طی دم و سپس میانگین دامنه RSA برای ۶ تنفس عمیق در دقیقه به عنوان معیار عملکرد واگ قلبی محاسبه شد.

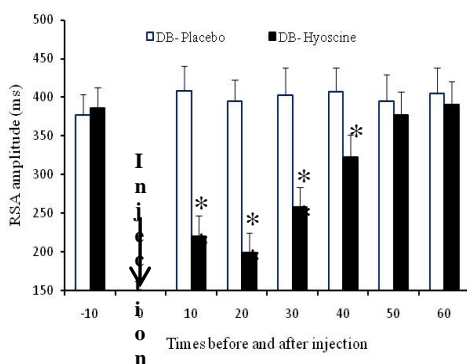
در آزمون تنفس عادی کنترل شده، همه موارد بالا مطرح بود، با این اختلاف که آزمودنی می‌بایست طی ۲ ثانیه دم و ۳ ثانیه بازدم انجام دهد. دامنه RSA نیز با همان روش بالا برای ۱۲ تنفس در دقیقه محاسبه شد.

پروتکل آزمایش

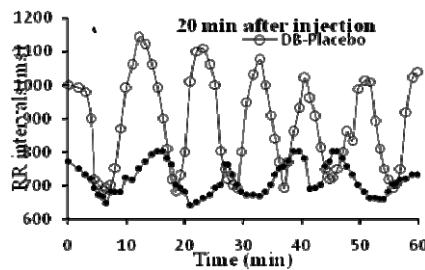
هر آزمودنی دو بار با فاصله یک هفته مراجعه کرد. دریافت دارو یا پلاسبو به صورت تصادفی مشخص می‌شد در حالی که آزمودنی مطلع نبود. به عبارتی مطالعه از نوع مداخله‌ای یک سو کور بود. در هر جلسه مراحل آزمایش با توالی زیر انجام شد:

(۱) بعد از اندازه گیری قد و وزن، آزمودنی در وضعیت درازکش به مدت ۱۵ دقیقه قرار گرفت. در این

دامنه RSA در دقیقه‌های ۱۰ و ۲۰ پس از تزریق مشاهده شد، سپس به تدریج دامنه RSA افزایش یافته و در دقیقه‌های ۵۰ و ۶۰ به میزان پایه برگشت. در نمودار شماره ۴ یک نمونه ثبت فواصل متوالی RR طی آزمون تنفس عمیق در دقیقه‌های ۲۰ (A) و ۶۰ (B) بعد از تزریق دارو و پلاسبو نشان داده شده است. برگشت دامنه RSA به میزان پایه، در دقیقه ۶۰ پس از تزریق به خوبی مشهود است.

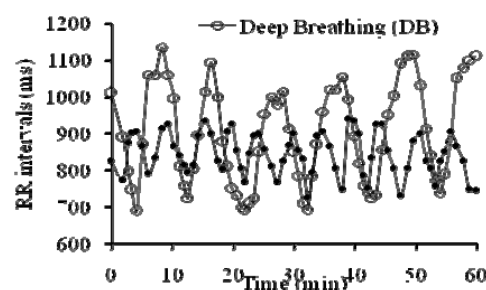


نمودار شماره ۳: تغییر دامنه RSA قبل و زمان های مختلف بعد از استعمال پلاسبو و هیوسین در آزمون تنفس عمیق کترل شده.

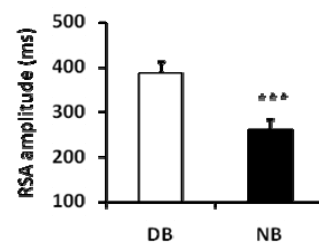


نمودار شماره ۴: یک نمونه ثبت RRI طی تنفس عمیق در دقیقه ۲۰ (A) و ۶۰ (B) بعد از استعمال هیوسبین و پلاسبو

یک نمونه تغییرات ضربان قلب در پاسخ به تنفس عادی و عمیق کنترل شده در نمودار شماره ۱ قبل مشاهده است. افزایش بارز دامنه RSA به خوبی در تنفس عمیق مشهود است. مقایسه آماری معیار دامنه RSA توسط Paired-t-test بین تنفس عادی و عمیق در شرایط پایه اختلاف معنی دار نشان داد (نمودار شماره ۲)، ($p<0.0001$)



نمودار شماره ۱: یک نمونه ثبت RRI متواالی طی تنفس عادی و عمیق کنترل شده بدون مداخله. افزایش بارز دامنه نوسان ضربان قلب به وضوح هنگام تنفس عمیق مشهود است.



نحوادار شماره ۲: مقایسه آماری دامنه RSA بین تنفس عادی و عمیق کنترل شده حاکی از افزایش قابل توجه معیار فوق هنگام تنفس عمیق است (**، $p < 0.001$) (n=۱۵).

اشر هیوسین بر دامنه RSA ناشی از تنفس عمیق کنترل شده اشر تزریق تک دوز آمپول هیوسین- ان- بوتیل بروماید بر الگوی فیزیولوژیک پاسخ ضربان قلب به تنفس عمیق کنترل شده در نمودار شماره ۳ نشان داده شده است. آنالیز آماری با RM-ANOVA یک طرفه دامنه RSA بین قبل و دقایق مختلف بعد از تزریق، اختلاف معنی دار نشان داد ($p < 0.01$). پس آزمون با تو کم، حاکم از اختلاف معنی دار در دققه های ۱۰، ۲۰، ۴۰ و ۶۰ دقیقه می شود.

بحث

یافته‌های اصلی این پژوهش شامل این موارد بود:

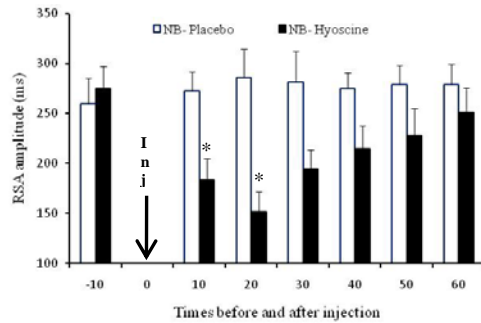
- (۱) دامنه RSA هنگام تنفس عمیق (۶ تنفس در دقیقه) در مقایسه با تنفس عادی (۱۲ تنفس در دقیقه) افزایش می‌یابد.

(۲) تزریق عضلانی تک دوز (۲۰ میلی‌گرم) هیوسین- ان- بوتیل بروماید باعث کاهش دامنه RSA در آزمون تنفس عادی شد که در دقایق ۵۰ و ۶۰ بعد از تزریق به سطح پایه برگشت، در حالی که پلاسبو بر دامنه RSA طی ثبت ۶۰ دقیقه‌ای تأثیری نداشت.

(۳) اثر مشابهی در مورد اثر هیوسین و پلاسبو بر دامنه RSA در آزمون تنفس عمیق نیز مشاهده شد، با این تفاوت که بازگشت دامنه RSA به سطح پایه در دقیقه ۶۰ پس از تزریق اتفاق نداشت.

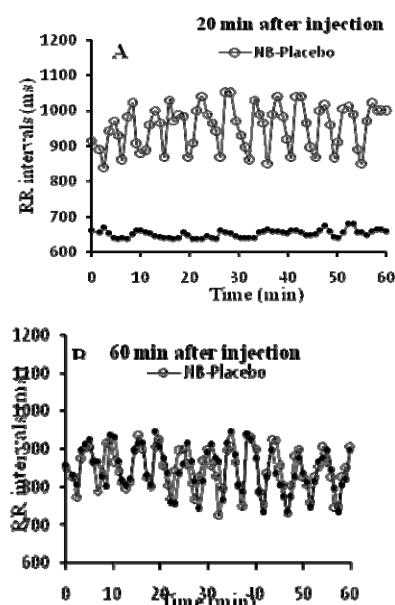
هنگام دم چون بازگشت خون به دهلیز و بطن چپ کاهش می‌یابد، با دخالت رفلکس بارورسپتوری، کاهش فعالیت واگک قلبی مسئول افزایش ضربان قلب یا کاهش RRI است. عکس این روند هنگام بازدم اتفاق می‌افتد، به طوری که افزایش فعالیت واگک قلبی مسئول افزایش RRI طی بازدم است. چون با تغییر RRI طی تنفس که با واسطه تغییر فعالیت واگک صورت می‌گیرد، اندازه گیری دامنه RSA به عنوان معیاری کمی از فعالیت واگک قلبی در نظر گرفته می‌شود^(۶). عمق تنفس با ایجاد نوسان بیشتر در فعالیت واگک سبب افزایش دامنه RSA می‌شود^(۲۴، ۲۳) که این اثر در مطالعه‌ما به وضوح مشاهده شد.

بخشی از یافته‌های مطالعه نشان داد که تزریق عضلانی هیوسین- ان- بوتیل بروماید، دامنه RSA را در تنفس عمیق کاهش می‌دهد. به عبارتی هیوسین- ان- بوتیل بروماید بر روی ضربان قلب اثر آنتی موسکارینی اعمال می‌کند که با توجه به معیار RSA در دقیقه ۶۰ پس از تزریق به سطح پایه بر می‌گردد. در حالی که نشان داده شده هیوسین هیدربروماید که همانند هیوسین- ان- بوتیل بروماید یک ترکیب با آمونیوم



نمودار شماره ۵: تغییر دامنه RSA قبل و زمان‌های مختلف بعد از استعمال پلاسبو و هیوسین در آزمون تنفس عادی کنترل شده. (n=۱۵) (p<۰.۰۰۱***).

اثر هیوسین بر دامنه RSA ناشی از تنفس عادی کنترل شده آنالیز آماری با RM-ANOVA یک طرفه دامنه RSA بین قبل و دقایق مختلف بعد از تزریق در آزمون تنفس عادی کنترل شده نیز، اختلاف معنی‌دار نشان داد (نمودار شماره ۵) (p<۰.۰۰۱). پس آزمون با توکی حاکی از اختلاف معنی‌دار در دقیقه‌های ۱۰، ۲۰، و ۳۰ (p<۰.۰۰۱) بود. حداقل کاهش دامنه RSA در دقیقه‌های ۱۰ و ۲۰ پس از تزریق مشاهده شد و در دقیقه‌های ۴۰، ۵۰ و ۶۰ به میزان پایه برگشت. یک نمونه پاسخ ضربان قلب به هیوسین و پلاسبو در دقیقه‌های (A) ۲۰ و (B) ۶۰ در نمودار شماره ۶ نمایش داده شده است.



نمودار شماره ۶: یک نمونه ثبت RRI طی تنفس عادی در دقیقه ۲۰ و ۶۰ (B) بعد از استعمال هیوسین و پلاسبو (A).

واگ قلبی شده است. هم راستا با این یافته، اخیراً مطالعه‌ای با استعمال هیوسین-ان-بوتیل بروماید وریدی با دوز ۱۲۰ میلی گرم در اسب نشان داد که این دارو سبب کاهش معیارهای زمان محور و فرکانس محور مرتبط با عملکرد واگ می‌شود.^(۲۷)

یافته‌های این مطالعه در مورد اثر هیوسین-ان-بوتیل بروماید بر دامنه RSA در آزمون تنفس عادی نیز مانند تنفس عمیق بود، با این تفاوت که در این مورد در دقیقه ۵، فعالیت واگ به سطح طبیعی برگشت. این مسئله بر این موضوع تأکید دارد که حساسیت آزمون تنفس عمیق در شناسایی عملکرد واگ قلبی حساس تر از دیگر آزمون‌های خودمختار از جمله آزمون تنفس عادی است.^(۲۸) البته در مطالعه Sundra و همکاران که از معیارهای فرکانس محور و زمان محور استفاده شد، تأثیر هیوسین بر عملکرد واگ، ۶۰ دقیقه بعد از تزریق وریدی به سطح پایه برگشت.^(۲۷)

با توجه به این که مهار واگ قلبی احتمال بروز وقایع قلبی را افزایش می‌دهد، به نظر می‌آید استعمال داروی هیوسین-ان-بوتیل بروماید را در بیمارانی که به درجاتی از نوروپاتی و اختلال عملکرد سیستم عصبی خودمختار رنج می‌برند مانند بیماران قلبی، افراد دیابتی و کهن‌سالان باید با احتیاط در نظر داشت. البته باید به این نکته توجه داشت که انجام مطالعه در آزمودنی‌های جوان سالم، تعیین نتایج به شرایط مختلف بالینی را با محدودیت جدی مواجه می‌کند. دیگر محدودیت این مطالعه استفاده از آب مقطر به عنوان پلاسیو به علت عدم دستری به حلال هیوسین بود.

سپاسگزاری

نویسنده‌گان مقاله مرتب تشکر و قدردانی خود را از معاونت پژوهشی دانشگاه علوم پزشکی شهید بهشتی به سبب حمایت مالی طرح اعلام می‌دارند.

چهارتایی است، با بروز اثر موسکارینی سبب برادیکارادی می‌شود.^(۱۹)

Golding و همکاران مهار گیرنده‌های M1 در غشاء نورون‌های پس سیناپسی پاراسمپاتیک را مسئول بروز اثر موسکارینی هیوسین روی ضربان قلب می‌دانند. از طرفی دوزهای بالاتر آتروپین و دیگر داروهای آنتی موسکارینی مانند هیوسین به واسطه مهار گیرنده M2 در غشاء سلول‌های گره سینوسی دهیزی باعث افزایش ضربان قلب یعنی اثر آنتی موسکارینی می‌شود.^(۲۵) وابسته به دوز بودن اثرات متضاد موسکارینی و آنتی موسکارینی ترکیبات هم خانواده آتروپین روی قلب، توسط مطالعات مختلف به خوبی نشان داده شده است.^(۲۶) تضعیف فعالیت عصب واگ قلبی با توجه به معیارهای RSA توسط هیوسین-ان-بوتیل بروماید که در مطالعه حاضر مشاهده شد، برخلاف تقویت فعالیت واگ قلبی است که توسط Al-Ani و همکاران^(۱۹) گزارش شد. آن‌ها از دوز ۰/۶ میلی گرم هیوسین هیدروبروماید استفاده کردند در حالی که در مطالعه حاضر از دوز ۲۰ میلی گرم هیوسین-ان-بوتیل بروماید استفاده شد، بنابراین بروز اثرات متفاوت را احتمالاً تا حد زیادی می‌توان به اثر متضاد وابسته به غلظت داروهای آنتی موسکارینی نسبت داد. در مورد آتروپین و دیگر ترکیبات مشابه‌مانند اسکوپولا مین با آمونیوم سه تایی^(۱۸) که ویژگی لیپوفیلی بالایی دارند و به راحتی از سد خونی مغزی عبور می‌کنند، بروز اثرات موسکارینی با دوزهای کم بر روی قلب، به مهار گیرنده‌های موسکارینی در هسته‌های حرکتی واگ در ساقه مغز نسبت داده می‌شود.^(۱۶) البته این مکانیسم به هیوسین‌هایی که ویژگی لیپوفیلی ناچیزی دارند، قابل تعیین نیست.

به نظر می‌آید دوز ۲۰ میلی گرم هیوسین-ان-بوتیل بروماید در مطالعه حاضر احتمالاً با اثر غالب بر گیرنده‌های موسکارینی پس سیناپسی در گره سینوسی دهیزی، سبب کاهش دامنه RSA یعنی کاهش تون

References

1. Hulme EC, Birdsall NJ, Buckley NJ. Muscarinic receptor subtypes. *Annu Rev Pharmacol Toxicol* 1990; 30: 633-673.
2. Tytgat GN. Hyoscine butylbromide: a review of its use in the treatment of abdominal cramping and pain. *Drugs* 2007; 67(9): 1343-1357.
3. Schäfer E, Ewe K. The treatment of irritable colon. Efficacy and tolerance of buscopan plus, buscopan, paracetamol and placebo in ambulatory patients with irritable colon. *Fortschr Med* 1990; 108(25): 488-492.
4. Spinks A, Wasiak J. Scopolamine (hyoscine) for preventing and treating motion sickness. *Cochrane Database Syst Rev* 2011; 6: CD002851.doi:10.1002/14651858.
5. Eckberg DL. The human respiratory gate. *J Physiol* 2003; 548(2): 339-352.
6. Grossman P, Taylor EW. Toward understanding respiratory sinus arrhythmia: relations to cardiac vagal tone, evolution and biobehavioral functions. *Biol Psychol* 2007; 74: 263-285.
7. Whitsel EA, Raghunathan TE, Pearce RM, Lin D, autaharju PM, Lemaitre R, et al. RR-interval variation, the QT interval index and risk of primary cardiac arrest among patients without clinically recognised heart disease. *Eur Heart J* 2001; 22(2): 165-173.
8. Dekker JM, Crow RS, Folsom AR, Hannan PJ, Liao D, Swenne CA, et al. Low heart rate variability in a 2-minute rhythm strip predicts risk of coronary heart disease and mortality from several causes: the ARIC Study. *Atherosclerosis Risk In Communities.* *Circulation* 2000; 102(11): 1239-1244.
9. Fakhrzadeh H, Yamini-Sharif A, Sharifi F, Tajalizadekhoob Y, Mirarefin M, Mohammadzadeh M, et al. Cardiac autonomic neuropathy measured by heart rate variability and markers of subclinical atherosclerosis in early type 2 diabetes. *ISRN Endocrinol* 2012; 2012: 168264.
10. Ziegler D. Cardiovascular autonomic neuropathy: clinical manifestations and measurement. *Diabetes Rev* 1999; 7(4): 342-357.
11. Pivatelli FC, Dos Santos MA, Fernandes GB, Gatti M, de Abreu LC, Valenti VE, et al. Sensitivity, specificity and predictive values of linear and nonlinear indices of heart rate variability in stable angina patients. *Int Arch Med* 2012; 5(1): 31.
12. Bigger JT Jr, Fleiss JL, Steinman RC, Rolnitzky LM, Schneider WJ, Stein PK. RR variability in healthy, middle-aged persons compared with patients with chronic coronary heart disease or recent acute myocardial infarction. *Circulation* 1995; 91(7): 1936-1943.
13. Akbari E, Foroutan A. The effect of dicyclomine hydrochloride, an anticholinergic agent, on heart rate variability in healthy subjects. *Journal of Mazandaran University of Medical Sciences* 2009; 19(72): 10-17 (Persian).
14. Kavanagh JJ, Grant GD, Anoopkumar-Dukie S. Low dosage promethazine and loratadine negatively affect neuromotor function. *Clin Neurophysiol* 2012; 123(4): 780-786.
15. Schiffers M, Sauermann P, Schurch B, Mehnert U. The effect of tolterodine 4 and 8 mg on the heart rate variability in healthy subjects. *World J Urol* 2010; 28(5): 651-656.
16. Weise F, Baltrusch K, Heydenreich F. Effect of low-dose atropine on heart rate

- fluctuations during orthostatic load: a spectral analysis. *J Auton Nerv Syst* 1989; 26(3): 223-230.
17. Kottmeier CA, Gravenstein JS. The parasympathomimetic activity of atropine and atropine methylbromide. *Anesthesiology* 1968; 29(6): 1125-1133.
18. Vybiral T, Bryg RJ, Maddens ME, Bhasin SS, Cronin S, Boden WE, et al. Effects of transdermal scopolamine on heart rate variability in normal subjects. *Am J Cardiol* 1990; 65(9): 604-608.
19. Al-Ani M, Forkins AS, Townend JN, Coote JH. Respiratory sinus arrhythmia and central respiratory drive in humans. *Clin Sci (Lond)* 1996; 90(3): 235-241.
20. Perlstein I, Stepensky D, Krzyzanski W, Hoffman A. A signal transduction pharmacodynamic model of the kinetics of the parasympathomimetic activity of low-dose scopolamine and atropine in rats. *J Pharm Sci* 2002 Dec; 91(12): 2500-2510.
21. Wang L, Wang L, Zhang Y, Zhang B, Chen M. Low dose transdermal scopolamine increases cardiac vagal tone in patients after acute myocardial infarction. *Chin Med J (Engl)* 2002; 115(5): 770-772.
22. Antelmi I, de Paula RS, Shinzato AR, Peres CA, Mansur AJ, Grupi CJ. Influence of age, gender, body mass index, and functional capacity on heart rate variability in a cohort of subjects without heart disease. *Am J Cardiol* 2004; 93(3): 381-385.
23. Bernardi L, Wdowczyk-Szulc J, Valenti C, Castoldi S, Passino C, Spadacini G, et al. Effects of controlled breathing, mental activity and mental stress with or without verbalization on heart rate variability. *J Am Coll Cardiol* 2000; 35: 1462-1469.
24. Brown TE, Beightol LA, Koh J, Eckberg DL. Important influence of respiration on human R-R interval power spectra is largely ignored. *J Appl Physiol* 2003; 75(75): 2310-2317.
25. Golding JF, Stott JR. Comparison of the effects of a selective muscarinic receptor antagonist and hyoscine (scopolamine) on motion sickness, skin conductance and heart rate. *Br J Clin Pharmacol* 1997; 43(6): 633-637.
26. Bettermann H, Cysarz D, Portsteffen A, Kümmell HC. Bimodal dose-dependent effect on autonomic, cardiac control after oral administration of Atropa belladonna. *Auton Neurosci* 2001; 90(1-2): 132-137.
27. Sundra TM, Harrison JL, Lester GD, Raidal SL, Phillips JK. The influence of spasmolytic agents on heart rate variability and gastrointestinal motility in normal horses. *Res Vet Sci* 2012; 93(3): 1426-1433.
28. Shields RW Jr. Heart rate variability with deep breathing as a clinical test of cardiovagal function. *Cleve Clin J Med* 2009; 76(Suppl 2): S37-340.